

**О СТРУКТУРЕ СОПРЯЖЕННЫХ СКАЧКОВ НАСЫЩЕННОСТИ
И КОНЦЕНТРАЦИИ В ЗАДАЧАХ ВЫТЕСНЕНИЯ НЕФТИ
РАСТВОРОМ АКТИВНОЙ ПРИМЕСИ**

O. M. Алишаева, B. M. Ентов, A. Ф. Зазовский

(Москва)

В работах [1—5] рассмотрено общее описание процессов вытеснения нефти раствором активной примеси как в основном случае наличия одного активного фактора, так и в более сложных ситуациях. При этом центральную роль играет возможность построения решения в крупномасштабном приближении, т. е. в пренебрежении диффузионными процессами различной физической природы (каспиллярность, собственно диффузия, теплопроводность). Эти процессы существенно влияют на решение лишь в зонах резкого изменения переменных, которым в крупномасштабном приближении отвечают скачки. Ниже исследуется тонкая структура переходных зон. Результаты такого исследования могут оказаться полезными для оценки пределов применимости крупномасштабного приближения и времени разрушения оторочек активной примеси, а также для отработки численных и приближенных методов расчета.

1. Формулировка задачи. Внешнее решение. Рассмотрим одномерное фронтальное вытеснение нефти раствором активной примеси. Запишем уравнения закона фильтрации фаз ($i = 1$ — вода; $i = 2$ — нефть) и сохранения в потоке воды, нефти и примеси, считая массовые концентрации примеси в воде c и нефти φ малыми, а пористость m , проницаемость k и плотности фаз ρ_1 и ρ_2 постоянными:

$$(1.1) \quad \begin{aligned} u_i &= -(k f_i(s, c)/\mu_i(c)) \partial p_i / \partial x \quad (i = 1, 2), \\ p_2 - p_1 &= p = \gamma(c) J(s), \\ m \partial s / \partial t + \partial u_1 / \partial x &= 0, \quad -m \partial s / \partial t + \partial u_2 / \partial x = 0, \\ m \frac{\partial}{\partial t} [\kappa c s + \varphi(c) (1 - s) + a(c)] + \frac{\partial}{\partial x} [\kappa c u_1 + \varphi(c) u_2] &= \frac{\partial}{\partial x} \left(D \frac{\partial c}{\partial x} \right). \end{aligned}$$

Здесь s — водонасыщенность; $m \rho_2 a$ — масса сорбированной примеси в единице объема пористой среды; f_i , μ_i , p_i — фазовая проницаемость, вязкость и давление в i -й фазе; D — коэффициент диффузии примеси; p — капиллярное давление, зависимость которого от поверхностного натяжения учитывается коэффициентом $\gamma(c)$; J — функция Леверетта; x — координата; t — время; $\kappa = \rho_1/\rho_2$.

Введем безразмерные переменные

$$\begin{aligned} x' &= x/L, \quad t' = u_0 t/L, \quad u'_i = u_i/u_0, \quad p'_i = p_i/\Delta p, \quad u_0 = k \Delta p / \mu_1(0) L, \\ \mu'_i &= \mu_i / \mu_1(0), \quad D' = D/D_0, \quad \gamma'(c) = \gamma(c) / \gamma(0), \quad \varepsilon = \gamma(0) / \Delta p, \quad v = D_0 / u_0 L, \end{aligned}$$

где L , Δp , D_0 — характерные значения размера области течения, внешнего перепада давления и коэффициента диффузии.

Опуская далее штрихи при безразмерных переменных, исключая из системы (1.1) давления и считая суммарный объемный расход $U = u_1 + u_2$ постоянным, получим

$$(1.2) \quad \begin{aligned} m \frac{\partial s}{\partial t} + U \frac{\partial F}{\partial x} + \varepsilon \frac{\partial}{\partial x} (\Phi \Omega) &= 0, \quad F = f_1/(f_1 + f_2 \mu_1 / \mu_2), \quad \Phi = F f_2 / \mu_2, \\ m \frac{\partial}{\partial t} [s(\kappa c - \varphi) + \varphi + a] + U \frac{\partial}{\partial x} [F(\kappa c - \varphi) + \varphi] + \varepsilon \frac{\partial}{\partial x} [(\kappa c - \varphi) \Phi \Omega] &= \\ &= v \frac{\partial}{\partial x} \left(D \frac{\partial c}{\partial x} \right), \end{aligned}$$

$$(1.3) \quad \begin{aligned} \Omega &= \gamma J' \partial s / \partial x + \gamma' J \partial c / \partial x, \quad \gamma' = d\gamma/dc, \quad J' = dJ/ds; \\ s(x, 0) &= s_0, \quad c(x, 0) = c_0, \quad s(0, t) = s^0, \quad c(0, t) = c^0. \end{aligned}$$

Полагая в (1.2) $\varepsilon = v = 0$, получим задачу, соответствующую крупномасштабному приближению [1]:

$$(1.4) \quad m \frac{\partial s}{\partial t} + U \frac{\partial x}{\partial x} = 0, \quad m \frac{\partial}{\partial t} [s(\kappa c - \varphi) + \varphi + a] + U \frac{\partial}{\partial x} [F(\kappa c - \varphi) + \varphi] = 0,$$

$$s(x, 0) = s_0, \quad c(x, 0) = c_0 (x \geq 0), \quad s(0, t) = s^0, \quad c(0, t) = c^0 (t > 0).$$

Пусть для определенности $c^0 > c_0$. Задача (1.4) имеет автомодельное решение [1–5] $s = s(\xi)$, $c = c(\xi)$, $\xi = mx/Ut$, которое будем считать построенным. Как правило, оно содержит скачки, на которых выполняются интегральные законы сохранения (V – скорость скачка):

$$(1.5) \quad \xi_j[s] = [F], \quad \xi_j\{s^\pm + [\varphi + a]/[\kappa c - \varphi]\} = F^\pm + [\varphi]/[\kappa c - \varphi],$$

$$\xi_j = mV/U, \quad [f] = f^+ - f^-, \quad f^\pm = f(\xi_j \pm 0).$$

Дополнительное условие устойчивости скачков сводится к требованию (это условие будет уточнено ниже), что число безразмерных характеристических скоростей за и перед скачком, для которых выполняются неравенства

$$(1.6) \quad \xi_i(s^-, c^-) \geq \xi_j, \quad \xi_k(s^+, c^+) \leq \xi_j \quad (i, k = 1, 2),$$

равно трем. Здесь ξ_i ($i = 1, 2$) – безразмерные характеристические скорости системы (1.4). Характеристики системы (1.4) $dx/dt = (U/m)\xi_i^\pm$ ($i = 1, 2$), удовлетворяющие неравенствам (1.6), называются приходящими на скачок, остальные – уходящими.

Методика построения автомодельного решения развита в [1–5], так что внешнее решение задачи вытеснения, соответствующее $\varepsilon = v = 0$, можно считать известным.

2. Внутреннее решение. Поскольку структура s -скаков хорошо известна [6, 7], исследуем структуру сопряженных s , c -скаков. Для построения внутреннего решения в окрестности s , c -скакка перейдем в уравнениях (1.2) к системе координат, движущейся вместе со скачком ($\eta = (x - Vt)/\varepsilon$, $\tau = t$), и будем искать нетривиальное стационарное решение системы:

$$(2.1) \quad \left(\frac{m}{U} \frac{\partial}{\partial \tau} - \xi_j \frac{\partial}{\partial \eta} \right) s + \frac{\partial F}{\partial \eta} + \frac{1}{U} \frac{\partial}{\partial \eta} (\Phi \Omega) = 0, \quad \Omega = \gamma J' \frac{\partial s}{\partial \eta} + \gamma' J \frac{\partial c}{\partial \eta},$$

$$\left(\frac{m}{U} \frac{\partial}{\partial \tau} - \xi_j \frac{\partial}{\partial \eta} \right) [s(\kappa c - \varphi) + \varphi + a] + \frac{\partial}{\partial \eta} [F(\kappa c - \varphi) + \varphi] +$$

$$+ \frac{1}{U} \frac{\partial}{\partial \eta} [(\kappa c - \varphi) \Phi \Omega] = \frac{v}{\varepsilon U} \frac{\partial}{\partial \eta} \left(D \frac{\partial c}{\partial \eta} \right),$$

удовлетворяющее условиям сращивания

$$(2.2) \quad s(\pm \infty) = s^\pm, \quad c(\pm \infty) = c^\pm.$$

При $\partial s/\partial \tau = \partial c/\partial \tau = 0$, интегрируя (2.1) с учетом (2.2), получим

$$(2.3) \quad ds/d\eta = -H[BY + (c - c^-)Z]/G, \quad dc/d\eta = H(c - c^-)Z,$$

$$Z(c) = F^-(\kappa - \delta\varphi) + \delta\varphi - \xi_j[s^-(\kappa - \delta\varphi) + \delta\varphi + (a - a^-)/(c - c^-)];$$

$$(2.4) \quad \delta\varphi = (\varphi - \varphi^-)/(c - c^-), \quad Y(s, c) = F - F^- - \xi_j(s - s^-),$$

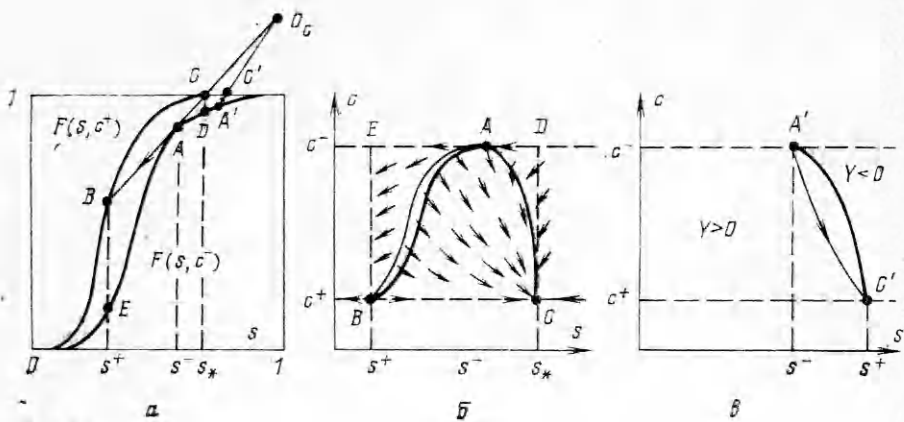
$$H(s, c) = \varepsilon U/vD, \quad G(s, c) = \gamma J'/\gamma' J, \quad B(s, c) = vD/\varepsilon \gamma' J \Phi.$$

Уравнениям (2.3) в фазовой плоскости s , c соответствует уравнение

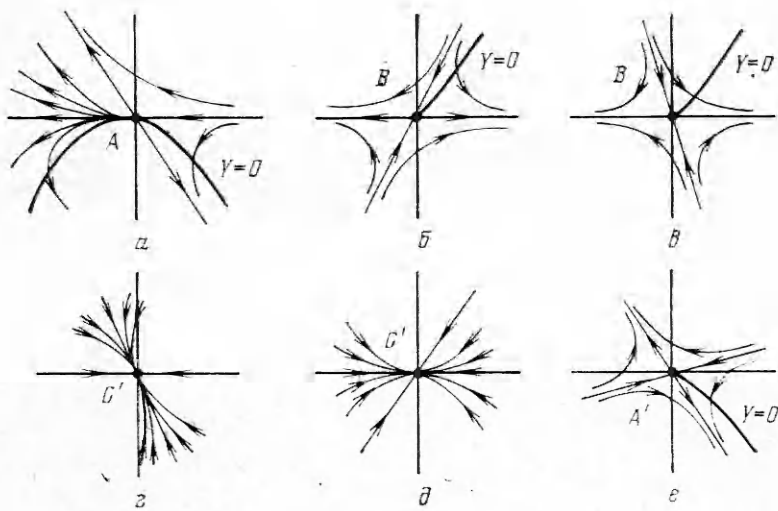
$$(2.5) \quad dc/ds = -G(s, c)(c - c^-)Z(c)/[(c - c^-)Z(c) + B(s, c)Y(s, c)].$$

Из соотношений на скачках (1.5) следует, что $Z(c^\pm) = Y(s^\pm, c^\pm) = 0$, так что точки (s^-, c^-) и (s^+, c^+) фазовой плоскости являются особыми точками уравнения (2.5).

Внутренняя структура сопряженных s , c -скаков, как будет показано ниже, тесно связана с условиями их устойчивости и с глобальной структурой



Фиг. 1



Фиг. 2

турой решения в целом. Последняя при фиксированных значениях c^0 , c_0 и $s^0 = 1$ полностью определяется видом функций $F(s, c)$, $\varphi(c)$, $a(c)$ и значением начальной водонасыщенности s_0 [1]. Ограничимся пока случаем полных скачков концентрации, когда $c^- = c^0$, $c^+ = c_0$. Подобная ситуация имеет место, например, если $\varphi_{,cc} \leq 0$, $a_{,cc} \leq 0$ [1].

Функцию $F_{,c} = \partial F / \partial c$ далее будем считать знакопостоянной. При $F_{,c} \leq 0$ в зависимости от значения s_0 возможны два типа сопряженных s , c -скачков: а) скачок AB при $s_0 \leq s_*$, когда $[s] < 0$, б) скачок $A'C'$ при $s_0 > s_*$, на котором $[s] > 0$. Для них имеем соответственно

$$(2.6) \quad \xi_1^- = \xi_j < \xi_1^+, \quad \xi_2^- < \xi_j < \xi_2^+, \quad \xi_1^+ < \xi_j, \quad \xi_2^+ < \xi_j < \xi_2^-.$$

На фиг. 1, а $O_c = (-[\varphi + a]/[\kappa c - \varphi], -[\varphi]/[\kappa c - \varphi])$; отрезок прямой $O_c C$ касается в точке A кривой $F(s, c^-)$, а в точке C соответствует значение $s = s_*$.

Рассмотрим сначала скачок AB . Построение удобно перенести в фазовую плоскость s, c (фиг. 1, б). Кривым $F(s, c^\pm)$ соответствуют отрезки прямых $c = c^\pm$, а отрезку прямой BAC в плоскости s, F — кривая BAC , вдоль которой $Y(s, c) = 0$, причем выше BAC $Y < 0$ и ниже — $Y > 0$. В силу условий (1.5), (2.6) $Z(c^+) = 0$ и $Z(c^-) > 0$. При $\gamma'(c) < 0$ (примесь снижает межфазное натяжение) $B(s, c) < 0$, и если $Z(c) \geq 0$ в полосе $c^+ < c < c^-$, то уравнение (2.5) не имеет в этой полосе других особых точек, кроме A , B и C . Для структуры искомого вида должна существовать траектория,

соединяющая точки A и B . Чтобы определить тип особых точек, достаточно воспользоваться неравенствами $J'(s) < 0$, $G > 0$, $B < 0$ и условиями (1.5), (2.6), в соответствии с которыми

$$F_{,s}(s_*, c^+) < \xi_j = F_{,s}^- < F_{,s}^+, A^+ < 0, A^- > 0,$$

$$A(c) = \frac{d}{dc} [(c - c^-) Z(c)] = F^\pm(z - \varphi_c) + \varphi_c - \xi_j [s^\pm(z - \varphi_c) + \varphi_c + a_c].$$

Можно убедиться, что точка $B = (s^+, c^+)$ — простое седло, точка $C = (s_*, c^+)$ — простой узел, а точка $A = (s^-, c^-)$ — двукратный седло-узел с одним узловым сектором и двумя седловыми. Качественная картина в окрестностях этих точек показана на фиг. 2. Отличные от нуля угловые коэффициенты траекторий, проходящих через особые точки, определяются соотношением

$$(2.7) \quad k_1 = [AG + B(F_{,s} - \xi_j)]/(A + BF_{,c}),$$

поэтому $k_1(s^-, c^-) < 0$ (фиг. 2, а). Знаки $k_1(s^+, c^+)$ и $k_1(s_*, c^+)$ не устанавливаются однозначно. Но так как $|B(s, c)| \gg 1$, то можно считать, что знаки числителя и знаменателя (2.7) будут определяться величиной $B(s, c)$, и тогда $k_1(s^+, c^+) > 0$, $k_1(s_*, c^+) < 0$ (фиг. 2, б, г).

Асимптотика траекторий узлового пучка, выходящих из точки A , имеет вид

$$c - c^- \sim -c^* \exp[R/(s - s^-)](s - s^-)^2, R = 2G^-A^+/(B^-F_{,ss}^-) > 0.$$

Искомая траектория существует и единственна; это сепаратриса седла B , принадлежащая узловому пучку точки A . Она проходит над изоклиной бесконечности.

Интегрируя уравнения (2.3) в окрестностях точек A и B , находим

$$(2.8) \quad s - s^- \sim 2(G^-/B^-H^-F_{,ss}^-)\eta^{-1}, c - c^- \sim \text{const } \eta^{-2}e^{-\chi-\eta}, \chi^\pm = -H^\pm A^\pm, \eta \rightarrow \pm \infty,$$

$$s - s^+ \sim \text{const } e^{-\chi+\eta}, c - c^+ \sim \text{const } e^{-\chi+\eta} = k_1(s^+, c^+)(s - s^+).$$

При $\varphi(c) = 0$ $\chi^\pm = \xi_j (\varepsilon U/v D^\pm) (a_c^\pm - [a]/[c])$, т. е. ширина переходной зоны перед скачком $1/\chi^\pm$ и скорость убывания концентрации за скачком пропорциональны скорости скачка ξ_j и зависят исключительно от кривизны изотермы сорбции и коэффициента диффузии примеси $D(c)$. В общем случае величина χ^\pm пропорциональна разности $\xi_2^\pm - \xi_j$. За скачком выход концентрации на значение, отвечающее внешнему решению, происходит экспоненциальным образом, а насыщенность изменяется более медленно (по степенному закону). Последнее обстоятельство при численном счете может проявляться в отставании фронта насыщенности от фронта концентрации примеси и в большем ее размазывании.

Рассмотрим теперь структуру скачка $A'C'$ (фиг. 1, а, в), соответствующего дowsингу нефти после обводнения месторождения. В этом случае точка $A' = (s^-, c^-)$ — простое седло (фиг. 2, е), точка $C' = (s^+, c^+)$ — простой узел (фиг. 2, г, д) и искомая траектория является сепаратрисой седла A' , принадлежащей узловому пучку, входящему в точку C' (фиг. 1, в). Угловой коэффициент траекторий узлового пучка зависит от знака величины $K = A^+G^+ + B^+(F_{,s}^+ - \xi_j)$.

Интегрируя уравнения (2.3) в окрестностях точек A' и C' , при $K > 0$ (фиг. 2, г) получим

$$s - s^\pm \sim \text{const } e^{-\chi^\pm \eta}, c - c^\pm \sim \text{const } e^{-\chi^\pm \eta} = k_1(s^\pm, c^\pm)(s - s^\pm), \chi^\pm = -H^\pm A^\pm, \eta \rightarrow \pm \infty.$$

При $K < 0$ (фиг. 2, д) переменные перед скачком связаны соотношением $c - c^+ \sim \text{const } |s - s^+|^q$, где $q = -A^+G^+/B^+(F_{,s}^+ - \xi_j) > 1$, и из-

меняются экспоненциально:

$$c - c^+ \sim \text{const } e^{-\chi^+ \eta}, s - s^+ \sim \text{const } e^{-(\chi^+/q)\eta}, \eta \rightarrow \infty.$$

Так как $q > 1$, то для насыщенности выход на значение, отвечающее внешнему решению перед скачком, происходит медленнее, чем для концентрации.

Полученные результаты показывают, что для скачка $[s] < 0$ из точки A' , не удовлетворяющего условию $\xi_j = F_{,s}^-$, внутренней структуры не существует (два седла не имеют, вообще говоря, общей сепаратрисы). Кроме того, при построении искомой траектории предполагалось, что для всех s и c из прямоугольника E , ограниченного прямыми $s=s^\pm$, $c=c^\pm$, выполняются неравенства

$$(2.9) \quad \min(c^+, c^-) \leq w(s) \leq \max(c^+, c^-), Y(s, w(s)) = 0, (c - c^-)Z(c) \leq 0,$$

причем равенства реализуются только в точках (s^\pm, c^\pm) . Условия (2.9) гарантируют отсутствие особых точек уравнения (2.3) в E , отличных от двух вершин (s^\pm, c^\pm) . Нарушение условий (2.9) даже при выполнении соотношений (2.6) для характеристических скоростей приводит к несуществованию внутренней структуры. Действительно, если $Z(c)$ меняет знак при $c^+ \leq c \leq c^-$, то, согласно (2.3), распределение концентрации в переходной зоне становится многозначным. Нарушение первого условия (2.9) также приводит к неоднозначности $s(\eta)$ и (или) $c(\eta)$. Второе неравенство (2.9) позволяет обосновать процедуру построения c -перехода автомодельного решения для произвольных возрастающих функций $a(c)$ и $\varphi(c)$ при $\varphi(c) = \varphi_0 c$ или $a(c) \equiv 0$ путем построения их выпуклых (вогнутых) оболочек на заданном интервале изменения концентрации [1]. Таким образом, (2.9) следует рассматривать как уточненное (по отношению к (1.6)) условие устойчивости s , c -скакков. Для s -скакков при $c = \text{const}$ подобное условие имеет вид $Y(s, c)/(s - s^-) \geq 0$ и строго доказано в [8].

Аналогичным образом может быть проанализирована структура скакков при $F_{,c} \geq 0$ (случай вредной примеси); для определенности будем считать, что $a_{,cc} \leq 0$, $\varphi_{,cc} \leq 0$, $[c] < 0$, $\gamma'(c) > 0$ и, следовательно, $B > 0$, а $G < 0$. Устойчивость такого скакка (фиг. 3, а) обеспечивается условиями (2.9) и соотношениями

$$(2.10) \quad \xi_1^- < \xi_j = \xi_1^+, \xi_2^+ < \xi_j < \xi_2^-.$$

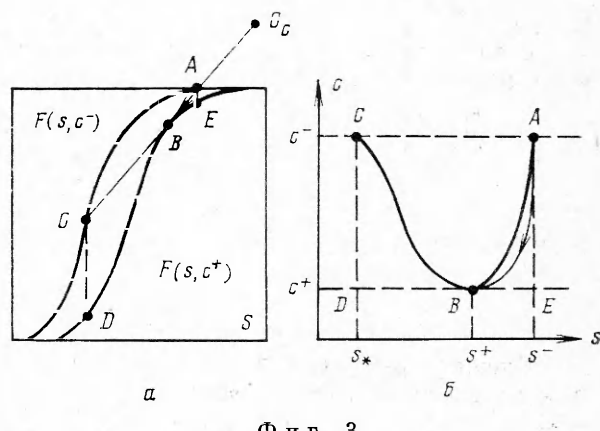
При этом точка $A = (s^-, c^-)$ — простое седло, $C = (s_*, c^+)$ — простой узел, $B = (s^+, c^+)$ — простейший двукратный седло-узел с узловым сектором справа от прямой $c - c^+ = -A + G + (s - s^+)/A + B + F_{,c}^+$ и двумя седловыми слева от нее, а искомая траектория является выходящей из седла A сепаратрисой, принадлежащей узловому пучку точки B (фиг. 3, б).

Асимптотика изменения переменных в стабилизированной зоне описывается соотношениями

(2.8), в которых индексы $+$ и $-$ меняются местами. Отставание насыщенности от концентрации примеси в этом случае наблюдается на переднем фронте стабилизированной зоны.

Установленные особенности внутренней структуры скакков сохраняются при $[c] > 0$, $a_{,cc} \geq 0$, $\varphi_{,cc} \geq 0$.

Для функций $a(c)$ и $\varphi(c)$ произвольного вида возможно существование



Фиг. 3

таких скачков, что знаки строгих неравенств между ξ_j и ξ_2^\pm в (2.6), (2.10) заменяются на знаки равенства [1]. Это приводит к усложнению типа особых точек в плоскости (s, c) , однако вид траекторий, соединяющих (s^-, c^-) и (s^+, c^+) , и глобальная топологическая картина в фазовой плоскости остаются прежними.

Рассмотрим в качестве примера скачок $[c] < 0$, $[s] < 0$ при $F_{,c} \leq 0$ (фиг. 1, а, б). Пусть сначала реализуется условие устойчивости

$$(2.11) \quad \xi_1^- = \xi_j < \xi_1^+, \quad \xi_2^+ = \xi_j < \xi_2^-.$$

Тип особой точки A и поле направлений в ее окрестности при этом не меняются. Вблизи точки B искомая траектория в первом приближении совпадает с изоклиной бесконечности и кривой $Y(s, c) = 0$. Порядок касания определяется порядком нуля $\xi_2 - \xi_j$ в точке (s^+, c^+) ; при этом стремление s и c к предельным значениям s^+ и c^+ при $\eta \rightarrow \infty$ из экспоненциального становится степенным.

Для скачка, удовлетворяющего условиям

$$(2.12) \quad \xi_1^- = \xi_j < \xi_1^+, \quad \xi_2^+ < \xi_j = \xi_2^-,$$

изменяется лишь тип особой точки $A = (s^-, c^-)$. Траектории узлового пучка и изоклина бесконечности сливаются с параболой $c - c^- = -(1/2)(F_{,ss}/F_{,c})(s - s^-)^2$, соответствующей кривой $Y(s, c) = 0$ в окрестности точки A . Как и выше, s и c при $\eta \rightarrow -\infty$ изменяются степенным образом.

При одновременной реализации равенств $\xi_j = \xi_2^\pm$ в условиях (2.11), (2.12) указанные особенности распределений s и c в стабилизированной зоне проявляются одновременно. Искомая траектория приближается к кривой $Y(s, c) = 0$, если вдоль нее стремится к нулю разность $\xi_2(s, c) - \xi_j$.

3. Структура контактного разрыва. При $\xi_2(s, c) = \xi_j$ (случай контактного разрыва [9]) система уравнений (2.3) не имеет решения требуемого вида. Подобная ситуация возникает при линейных изотермах $a(c)$ и $\varphi(c)$ и означает, что исходная система уравнений (1.2) не имеет решения типа бегущей волны. Это обстоятельство связано с появлением в задаче еще одного малого параметра, оказывающего определяющее влияние на размер стабилизированной зоны.

Анализ структуры скачка в этом случае оказывается не столь тривиальным. Рассмотрим его для линейных изотерм распределения примеси $a(c) = a_0 c$, $\varphi(c) = \varphi_0 c$. Уравнения (1.2) в системе координат, связанной со скачком, после очевидных преобразований принимают вид

$$(3.1) \quad \begin{aligned} \frac{m}{U} \frac{\partial S}{\partial \tau} + \frac{\partial f}{\partial \eta} + \frac{\varepsilon}{U} \frac{\partial}{\partial \eta} (\Phi \Omega) &= 0, \quad \tau = t, \quad \eta = x - Vt, \\ \frac{m}{U} S \frac{\partial c}{\partial \tau} + f \frac{\partial c}{\partial \eta} + \frac{\varepsilon}{U} \Phi \Omega \frac{\partial c}{\partial \eta} &= \frac{v'}{U} \frac{\partial}{\partial \eta} (D \frac{\partial c}{\partial \eta}), \quad v' = v/(\kappa - \varphi_0), \\ S = s + (\varphi_0 + a_0)/(\kappa - \varphi_0), \quad f = F + \varphi_0/(\kappa - \varphi_0) - \xi_j S. \end{aligned}$$

Считая далее S и f новыми неизвестными, а c известной функцией S и f , приведем второе уравнение (3.1) к виду

$$\begin{aligned} \frac{m}{U} S \frac{\partial f}{\partial \tau} + \delta S F_{,c} \frac{\partial f}{\partial \eta} + f L + \frac{s}{U} [\Phi \Omega L + \delta S F_{,c} \frac{\partial}{\partial \eta} (\Phi \Omega)] &= \\ = \frac{v'}{U} F_{,c} \frac{\partial}{\partial \eta} (DL/F_{,c}), \end{aligned}$$

$$\begin{aligned} \Phi \Omega &= M \partial S / \partial \eta + N \partial f / \partial \eta, \quad M(S, f) = \Phi(\gamma J' - \delta \gamma' J), \quad N(S, f) = \\ &= \Phi \gamma' J / F_{,c}, \\ L(S, f) &= \partial f / \partial \eta - \delta F_{,c} \partial S / \partial \eta, \quad \delta = (F_{,s} - \xi_j) / F_{,c}. \end{aligned}$$

Внешнее разрывное решение удовлетворяет условиям $f(\tau, \pm 0) = 0$. Для построения главного члена внутреннего разложения положим

$$(3.2) \quad f = (\varepsilon/m\tau)^{1/2} f^0, \quad \zeta = (m/\varepsilon\tau)^{1/2} \eta, \quad \theta = \tau$$

и преобразуем полученные уравнения, сохраняя лишь члены одного порядка малости по ε и считая, что $v'/\varepsilon = O(1)$. При этом получим систему уравнений внутренней задачи:

$$\begin{aligned} \theta \frac{\partial S}{\partial \theta} - \frac{1}{2} \zeta \frac{\partial S}{\partial \zeta} + U \frac{\partial f^0}{\partial \zeta} + \frac{\partial}{\partial \zeta} \left(M \frac{\partial S}{\partial \zeta} \right) &= 0, \\ \delta \left[U \left(S \frac{\partial f^0}{\partial \zeta} - f^0 \frac{\partial S}{\partial \zeta} \right) - M \left(\frac{\partial S}{\partial \zeta} \right)^2 + S \frac{\partial}{\partial \zeta} \left(M \frac{\partial S}{\partial \zeta} \right) \right] + \frac{v'}{\varepsilon} \frac{\partial}{\partial \zeta} \left(\delta D \frac{\partial S}{\partial \zeta} \right) &= 0. \end{aligned}$$

Искомая асимптотическая структура определяется ее стационарным решением

$$(3.3) \quad \begin{aligned} \frac{1}{2} \zeta \frac{dS}{d\zeta} - U \frac{df^0}{d\zeta} - \frac{d}{d\zeta} \left(M \frac{dS}{d\zeta} \right) &= 0, \\ \delta \left[\left(\frac{1}{2} \zeta S - U f^0 \right) \frac{dS}{d\zeta} - M \left(\frac{dS}{d\zeta} \right)^2 \right] + \frac{v'}{\varepsilon} \frac{d}{d\zeta} \left(\delta D \frac{\partial S}{\partial \zeta} \right) &= 0, \\ S(\pm\infty) = S^\pm, f^0(+\infty) &= 0. \end{aligned}$$

Заметим, что система (3.3) имеет первый порядок по f^0 , и потому допускает лишь одно краевое условие. Можно показать, что граничное условие теряется с внутренней стороны переходной зоны ($\zeta = -\infty$), где $\delta = (F_{,s} - \xi_j)/F_{,c} = 0$. Этому отвечает выбор краевого условия для f^0 в задаче (3.3). В силу преобразования (3.2) это не меняет того обстоятельства, что для предельной ($t \rightarrow \infty$) стационарной асимптотики $f = 0$ (для этого достаточно ограниченности $f^0(-\infty)$), и условия сопряжения внутреннего и внешнего решений выполнены. Примечательно, однако, что нельзя было бы построить внешнее разложение для S , сразу отыскивая стационарное распределение $S(\zeta)$ и $f = 0$.

Таким образом, для отыскания главного члена внутреннего разложения решения в случае контактного разрыва можно сначала найти $S(\zeta)$ и $f^0(\zeta)$ из (3.3), а затем для определения s воспользоваться уравнением $f(s, c) = 0$. При этом так же, как в типичной задаче конвективной теплопроводности, характерный размер переходной зоны растет со временем как $\tau^{1/2}$.

4. Структура, обусловленная неравновесностью. Другим фактором, способным влиять на структуру s , c -скачков, является неравновесность процессов сорбции и перераспределения примеси между фазами. Ограничимся, пренебрегая диффузией и капиллярными силами, случаем, когда скорости обменных процессов зависят лишь от содержания примеси в фазах и в сорбированном состоянии. Тогда имеем задачу

$$(4.1) \quad \begin{aligned} m \frac{\partial S}{\partial t} + U \frac{\partial F}{\partial x} &= 0, \quad m \frac{\partial}{\partial t} [\kappa c s + \varphi(1-s) + a] + \\ &+ U \frac{\partial}{\partial x} [\kappa c F + \varphi(1-F)] = 0, \\ \partial a / \partial t &= A(c, \varphi, a), \quad \partial \varphi / \partial t = \Phi(c, \varphi), \quad F = F(s, c, \varphi), \\ s &= s_0, \quad c = c_0, \quad a = a_0(c_0), \quad \varphi = \varphi_0(c_0) \quad (t = 0), \\ s &= s^0, \quad c = c^0, \quad a = a_0(c^0), \quad \varphi = \varphi_0(c^0) \quad (x = 0), \end{aligned}$$

где a и φ — независимые переменные, а $a_0(c)$ и $\varphi_0(c)$ — их равновесные значения, являющиеся единственными корнями уравнения $A(c, \varphi, a) = \Phi(c, \varphi) = 0$. Вводя безразмерные переменные $x' = mx/L$, $t' = tU/L$, $A' = A/A_0$, $\Phi' = \Phi/\Phi_0$, $\varepsilon = U/A_0 L$, $v = U/\Phi_0 L$, преобразуем задачу (4.1) к виду (штрихи далее опускаем)

$$(4.2) \quad \begin{aligned} \frac{\partial s}{\partial t} + \frac{\partial F}{\partial x} &= 0, \quad \frac{\partial}{\partial t} [\kappa c s + \varphi(1-s) + a] + \frac{\partial}{\partial x} [\kappa c F + \varphi(1-F)] = 0, \\ \varepsilon \partial a / \partial t &= A(c, \varphi, a), \quad v \partial \varphi / \partial t = \Phi(c, \varphi), \quad A(c, \varphi_0, a_0) = \Phi(c, \varphi_0) = 0, \\ s &= s_0, \quad c = c_0 \quad (t = 0), \quad s = s^0, \quad c = c^0 \quad (x = 0). \end{aligned}$$

Внешнее автомодельное решение, отвечающее $\varepsilon = v = 0$, будем считать известным. Для построения внутреннего решения в окрестности s , c -скакка перейдем в (4.2) к системе координат, движущейся вместе со скачком ($\eta = (x - Vt)/\varepsilon$, $\tau = t$), и будем искать нетривиальное стационарное решение внутренней задачи

$$(4.3) \quad \left(\frac{\partial}{\partial \tau} - \xi_j \frac{\partial}{\partial \eta} \right) s + \frac{\partial F}{\partial \eta} = 0, \quad \left(\frac{\partial}{\partial \tau} - \xi_j \frac{\partial}{\partial \eta} \right) [\kappa c s + \varphi (1 - s) + a] + \\ + \frac{\partial}{\partial \tau} [\kappa c F + \varphi (1 - F)] = 0,$$

$$\left(\frac{\partial}{\partial \tau} - \xi_j \frac{\partial}{\partial \eta} \right) a = A(c, \varphi, a), \quad h \left(\frac{\partial}{\partial \tau} - \xi_j \frac{\partial}{\partial \eta} \right) \varphi = \Phi(c, \varphi), \quad h = v/\varepsilon,$$

$$s(-\infty) = s^-, \quad c(-\infty) = c^-, \quad \varphi(-\infty) = \varphi_0(c^-), \quad a(-\infty) = a_0(c^-).$$

Интегрируя стационарные уравнения (4.3) с учетом (1.5), получим систему второго порядка

$$(4.4) \quad da/d\eta = -\xi_j^{-1} A(\Psi(\varphi, a), \varphi, a), \quad d\varphi/d\eta = -(h\xi_j)^{-1} \Phi(\Psi(\varphi, a), \varphi), \\ c = \Psi(\varphi, a) = c^- + \alpha(a - a_0^-) + \beta(\varphi - \varphi_0^-), \quad F = F^- - \xi_j(s - s^-) = 0, \\ \alpha = [c - \varphi_0/\kappa]/\omega > 0, \quad \beta = [a_0/\kappa + (1 - \xi_j^{-1})c]/\omega > 0, \\ a_0^- = a_0(c^-), \quad \varphi_0^- = \varphi_0(c^-), \quad \omega = [a_0 + (1 - \xi_j^{-1})\varphi_0],$$

которой в фазовой плоскости (φ, a) соответствует уравнение

$$(4.5) \quad da/d\varphi = -hA(\Psi(\varphi, a), \varphi, a)/\Phi(\Psi(\varphi, a), \varphi).$$

Траектория, соединяющая особые точки (φ_0^\pm, a_0^\pm) , в этом случае всегда существует, и единственное, что остается выяснить, — это условия, при которых $\varphi(\eta)$ и $a(\eta)$ являются однозначными функциями η , удовлетворяющими граничным условиям при $\eta \rightarrow \pm\infty$. Очевидно, требуемые условия состоят в выполнении вдоль траектории неравенств $(c^+ - c^-)A \leq 0$, $(c^+ - c^-)\Phi \leq 0$.

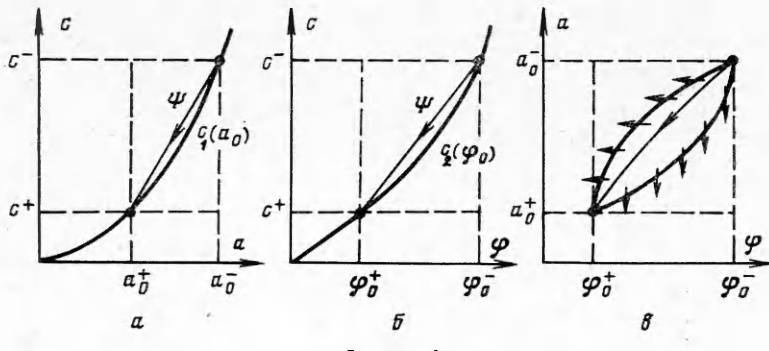
Если примесь не сорбируется либо не растворяется в нефти, то соответствующее уравнение интегрируется в квадратурах. Рассмотрим примеры подобных ситуаций для скачков $[c] < 0$ при $F_{,c} \leq 0$.

Пусть $\varphi \equiv 0$ и $A = A(c, a) = c - c_1(a)$, где $c_1(a_0(c)) = c$. Тогда $\Psi(a) = c^- + (a - a_0^-)[c]/[a_0]$ и из условий устойчивости скачка $\xi_2^- \leq \xi_j \leq \xi_2^+$ следуют неравенства $a_{0,c}^+ \geq [a_0]/[c]$, $a_{0,c}^- \leq [a_0]/[c]$, т. е. прямая $c = \Psi(a)$ пересекает равновесную изотерму сорбции $a_0(c)$ или касается ее в точках c^\pm , a_0^\pm (фиг. 4, а). Интегрируя первое уравнение (4.4), получаем

$$\eta = \eta^* - \xi_j \int_{a_0^*}^a \left\{ c^- + \frac{[c]}{[a_0]} (a' - a_0^-) - c_1(a') \right\}^{-1} da', \quad a_0^+ < a^* < a_0^-,$$

поведение $a(\eta)$ при $\eta \rightarrow \pm\infty$ будет определяться порядком касания в точках $c = c^\pm$ плоскости c , а прямой $c = \Psi(a)$ и равновесной изотермы сорбции $a = a_0(c)$. При $a_{0,cc} \leq 0$ имеем $a - a_0^\pm \sim \text{const} e^{-\chi_1^\pm \eta}$, $\chi_1^\pm = [c]/[a_0] - c_{1,a}(a_0^\pm)$, $\eta \rightarrow \pm\infty$, а при обращении в нуль χ_1^\pm (касание первого порядка) поведение $a(\eta)$ при $\eta \rightarrow \pm\infty$ становится степенным: $a - a_0^\pm \sim 1/\chi_1^\pm \eta$, $\chi_1^\pm = (1/2)c_{1,aa}(a_0^\pm)$.

В силу линейности функции $c = \Psi(a)$ таким же будет и асимптотическое поведение $c(\eta)$ в стабилизированной зоне. Асимптотика $s(\eta)$ при $\eta \rightarrow \pm\infty$ находится из (4.4) и условия на скачке $\xi_j = [F]/[s]$. При $[s] < 0$ $\xi_j = F_{,s}^- < F_{,s}^+$, поэтому $s - s^- \approx -\{-2F_{,c}^-(c - c^-)/F_{,ss}^-\}^{1/2}$, $s - s^+ \approx F_{,c}^+(c - c^+)/(\xi_j - F_{,s}^+)$. На скачке $[s] > 0$ $\xi_j > F_{,s}^\pm$ и, следовательно, $s - s^\pm \approx F_{,c}^\pm(c - c^\pm)/(\xi_j - F_{,s}^\pm)$.



Фиг. 4

Аналогичным образом исследуется структура стабилизированной зоны при $a \equiv 0$ и $\Phi(c, \varphi) = c - c_2(\varphi)$, где $c_2(\varphi_0(c)) = c$. В этом случае $\Psi(\varphi) = c^- + (\varphi - \varphi_0^-)[c]/[\varphi_0]$ и $\varphi(\eta)$ определяется видом равновесной изотермы $\varphi = \varphi_0(c)$ и порядком ее касания с прямой $c = \Psi(\varphi)$ в плоскости (c, φ) (фиг. 4, б).

Наконец, рассмотрим общий случай, считая, что примесь сорбируется только из водной фазы: $A(c, a) = c - c_1(a)$, $\Phi(c, \varphi) = c - c_2(\varphi)$. Тогда уравнение (4.5) принимает вид

$$\begin{aligned} da/d\varphi = -h[c^- + \alpha(a - a_0^-) + \beta(\varphi - \varphi_0^-) - c_1(a)]/[c^- + \alpha(a - a_0^-) + \\ + \beta(\varphi - \varphi_0^-) - c_2(\varphi)]. \end{aligned}$$

Искомая траектория является сепаратрисой седла (φ_0^+, a_0^+) , принадлежащей узловому пучку точки (φ_0^-, a_0^-) , и проходит ниже выпуклой изоклины нуля $c_1(a) = \Psi(\varphi, a)$ ($\beta d^2\varphi/da^2 = c_{1,aa} > 0$) над вогнутой изоклиной бесконечности $c_2(\varphi) = \Psi(\varphi, a)$ ($\alpha d^2a/d\varphi^2 = c_{2,pp} > 0$) (фиг. 4, в). Направления траектории в особых точках определяются угловыми коэффициентами

$$k^\pm = (da/d\varphi)^\pm = [p + (p^2 + 4\alpha\beta h)^{1/2}]/2\alpha, p = c_{2,\varphi}^\pm - \beta - h(c_{1,a}^\pm - \alpha),$$

при этом $k^\pm \rightarrow (c_{2,\varphi}^\pm - \beta)/\alpha$, если $h \rightarrow 0$, и $k^\pm \rightarrow \beta/(c_{1,a}^\pm - \alpha)$, если $h \rightarrow \infty$.

Интегрируя (4.4) в окрестностях особых точек, получим $a - a_0^\pm \sim \sim \text{const } e^{-\chi_\pm \eta}, \varphi - \varphi_0^\pm \sim \text{const } e^{-\gamma_\pm \eta}, \eta \rightarrow \pm\infty, \chi^\pm = \beta/k^\pm + \alpha - c_{1,a}^\pm, \gamma^\pm = (\alpha k^\pm + \beta - c_{2,\varphi}^\pm)/h$, где χ^\pm и γ^\pm пропорциональны разностям угловых коэффициентов траектории и опорных кривых (фиг. 4, в) в точках (φ_0^\pm, a_0^\pm) плоскости (φ, a) .

В силу линейности зависимости $c = \Psi(\varphi, a)$ поведение $c(\eta)$ при $\eta \rightarrow \pm\infty$ определяется членом $\exp[+\eta \min(|\chi^\pm|, |\gamma^\pm|)]$, т. е. более медленным из двух неравновесных процессов.

В случае касания траекторией одной из опорных кривых в точках (φ_0^\pm, a_0^\pm) экспоненциальное поведение соответствующей переменной (φ или a) и концентрации $c(\eta)$ при $\eta \rightarrow \pm\infty$ сменяется степенным.

Полученные результаты остаются справедливыми для функций $A(c, \varphi, a)$ и $\Phi(c, \varphi)$ произвольного вида, удовлетворяющих условиям $A_{,c} > 0, A_{,\varphi} > 0, A_{,cc} \leq 0, A_{,\varphi\varphi} \leq 0, A_{,a} < 0, \Phi_{,c} > 0, \Phi_{,cc} \leq 0, \Phi_{,\varphi} < 0$. В этом случае угловые коэффициенты траектории в особых точках (φ_0^\pm, a_0^\pm) и значения χ^\pm, γ^\pm определяются соотношениями $k^\pm = [p + (p^2 + 4\alpha\Phi_{,c}^\pm R^\pm)^{1/2}]/2\alpha\Phi_{,c}^\pm, \chi^\pm = P^\pm + R^\pm/k^\pm, \gamma^\pm = (Q^\pm + \alpha\Phi_{,c}^\pm k^\pm)/h, p = hP^\pm - Q^\pm, P^\pm = \alpha A_{,c}^\pm + A_{,a}^\pm, Q^\pm = \beta\Phi_{,c}^\pm + \Phi_{,\varphi}^\pm, R^\pm = \beta A_{,c}^\pm + A_{,\varphi}^\pm$.

В случае однородной жидкости рассмотренная задача совпадает с классической задачей сорбции [10].

Поступила 13 VII 1981

ЛИТЕРАТУРА

1. Ентов В. М., Пилищук А. М. О роли сорбционных процессов при движении полимерных растворов в пористой среде.— Изв. АН СССР. МЖГ, 1975, № 3.
2. Ентов В. М., Хавкин А. Я., Чен-Син Э. Расчеты процессов вытеснения нефти раствором активной примеси.— В сб.: Численное решение задач фильтрации многофазной несжимаемой жидкости. Новосибирск, 1977.
3. Брагинская Г. С., Ентов В. М. О неизотермическом вытеснении нефти раствором активной примеси. Препринт № 112. М.: изд. Ин-та проблем механики АН СССР, 1978
4. Ентов В. М. Физико-химическая гидродинамика процессов в пористых средах (математические модели методов повышения нефтеотдачи пластов). Препринт № 161. М.: изд. Ин-та проблем механики АН СССР, 1980.
5. Зискин Е. А., Рыжик В. М. Автомодельные решения задач двухфазного вытеснения нефти раствором активной примеси с учетом массообмена между фазами.— Изв. АН СССР. МЖГ, 1981, № 4.
6. Бан А. и др. Влияние свойств горных пород на движение в них жидкости. М.: Гостоптехиздат, 1963.
7. Баренблatt Г. И., Ентов В. М., Рыжик В. М. Теория нестационарной фильтрации жидкости и газа. М.: Недра, 1972.
8. Олейник О. А. О единственности и устойчивости обобщенного решения задачи Коши для квазилинейного уравнения.— УМН, 1959, т. XIV, вып. 2(86).
9. Рождественский Б. Л., Яненко Н. Н. Системы квазилинейных уравнений и их приложения к газовой динамике. М.: Наука, 1978.
10. Тихонов А. Н., Жуховицкий А. А., Забежинский Я. Л. Поглощение газа из тока воздуха слоем зернистого материала.— ЖФХ, 1946, т. 20, вып. 10.

УДК 533.6.071.8 + 533.6.011.6

МЕТОДИКА ИЗМЕРЕНИЯ ТЕМПЕРАТУРЫ ТОРМОЖЕНИЯ КРАТКОВРЕМЕННЫХ ПОТОКОВ ГАЗА С ПОМОЩЬЮ РАДИАЦИОННО-КАЛОРИМЕТРИЧЕСКОГО ДАТЧИКА

A. И. Данилевич

(Москва)

Температура торможения является одним из определяющих параметров газового потока при моделировании реальных условий обтекания моделей в аэродинамических трубах и установках. На ряде установок кратковременного действия значение температуры торможения определяется лишь расчетным путем по косвенным измерениям (например, расходным методом) либо по измерениям в ресивере или форкамере, что приводит к значительным погрешностям. Известные методы и устройства для измерения температуры газовых потоков [1—4] в большинстве своем обладают большой тепловой инерцией.

В данной работе описываются измерения температуры торможения горячего газа с помощью радиационно-калориметрического датчика, разработанного ранее для измерения величины теплового потока [5]. Используется способ прямого сравнения температуры заторможенного газового потока с температурой нагреветого чувствительного элемента датчика.

Описание метода измерения температуры. В соответствии со вторым началом термодинамики тело, помещенное в зоне торможения потока газа, охлаждается, если температура тела больше температуры торможения газа, и нагревается, если температура тела ниже температуры торможения газа. В случае, если теплообмен отсутствует, можно сделать заключение, что температура торможения газа T_0 и температура тела в зоне торможения равны.

Обычно в измерительной технике методом последовательных приближений подбирают такую величину энергии, подводимую к нагревателю термоприемника, при которой показания датчика не изменяются с введением его в поток газа. Такой способ продолжителен по времени и не позволяет достигнуть высокой точности, так как связан с чисто эмпирическим подбором режима подогревателя термоприемника и необходимостью строгого постоянства параметров измеряемого потока. Применение динамического способа определения температуры по темпу ее изменения [6] позволяет уменьшить число сравнений до двух.